

ПИЩЕВАЯ ПРОМЫШЛЕННОСТЬ

МРНТИ 61.31.47, 87.53.13
https://doi.org/10.53939/1560-5655_2024_1_60

Капизов Ф.С.¹, Азат С.^{1,2}, Аскарулыш К.³, Жантикеев У.Е.¹,
Керимкулова А.Р.^{1,2}

¹Әл-Фараби атындағы Қазақ Ұлттық университеті, Алматы қ., Қазақстан,

²Жану мәселелері институты, Алматы қ., Қазақстан,

³Satbayev University, Алматы қ., Қазақстан,

КҮРІШ ҚАБЫҒЫНАН АЛЫНГАН АМОРФТЫ КРЕМНЕЗЕМНІҢ СИПАТТАМАЛАРЫ

Түйіндеме. Құріш өңдеу өндірісінің ақырғы қалдықтары болып табылатын құріш қабығын өртүрлі температуралық жағдайларда өңдеу арқылы өртүрлі шығындылығы бар кремнезем алуга болады. Әдетте, мундай қалдықтары өртеуге ұшырайды немесе жай ғана далаға лактрылынып тастауды мүмкін болғандықтан, өртеуден белілген түтін қоршаған ортаға табиғатына көрі әсерін тигізуі мүмкін және ластануына алып келуі мүмкін. Қазіргі уақытта замануи электроникалық технологиялардың дамуынан байланысты, аморфты кремний диоксиді жоғары қолданысқа ие. Соған байланысты осы жұмыста аморфты кремнеземді алуудың мәселелері қарастырылды. Және оның сипаттамаларын анықтау үшін жұмыс барысында рентгендік дифракциялау, инфрақызыл спектрлеу және сканерлеуші электронды микроскопия әдістері қолданылды. Аталған жұмыста кремний диоксидінің тазалығы мен құрылымы анықталды.

Түйінді сөздер: Кремнезем, құріш қауызы, құріш қауызы күлі, қүйдіру, кремний диоксиді.

• • •

Аннотация. В статье приводится как из рисовой шелухи, которой является конечными отходами рисообрабатывающего производства, можно получить кремнезема различной степени выхода, обработав при различных температурных условиях. Как правило, такие отходы подвергаются сжиганию или могут быть просто выброшены, дым, выделенный от сжигания таких отходов, может негативно повлиять на окружающую среду и привести к загрязнению. В настоящее время, в связи с развитием современных электронных технологий, аморфный диоксид кремния обладает высоким использованием. В этой работе были рассмотрены вопросы получения аморфного кремнезема. Для определения их характеристик, в процессе работы были использованы методы рентгеновского дифракции, инфракрасного спектрального и сканирующей электронной микроскопии. В данной работе определена чистота и структура диоксида кремния.

Ключевые слова: Кремнезем, рисовая шелуха, зола рисовой шелухи, обжиг, диоксид кремния.

• • •

Abstract. The article shows how the rice husk, which is the final waste of rice processing production, can be obtained from silicon dioxide of various degrees of yield, processed under different temperature conditions. As a rule, such waste is incinerated or can be simply thrown out. the smoke emitted from the incineration of such waste can negatively affect the environment and lead to pollution. Currently, due to the development of modern electronic technologies, amorphous silicon dioxide has a high use. In this work, the issues of obtaining amorphous silica were considered. The methods, such as, X-ray diffraction, infrared spectral and scanning electron microscopy were used to determine characteristics of obtained silica. In this paper, the purity and structure of silicon dioxide are determined.

Key words: Silica, rice husk, rice husk ash, roasting, silicon dioxide.

Кіріспе. Кремний – өз алдына жеке кездесетін элементтердің өте сирек минералды түрі болып табылады. Шын мәнінде, бұл кремнийдің сирек химиялық элемент ретінде таңқаларлық жайы болып табылады, табиғатта жер қыртыстарында 27,6% шамасында кездесуіне қарамастан таза түрде кездесу мүмкіндігі өте аз [1]. Таза түрде ол іс жүзінде жоқ, негізінен $\text{Si}+\text{O}_x$ деп аталатын қосылыстар түрінде планетадамызда кездеседі. Кремний диоксиді химиялық қосылыс, сондай-ақ SiO_2 (латынша – «Silex») ретінде белгілі. SiO_2 химиялық формуласы бар кремний оксиді болып табылады және ежеліті уақыттан оның қаттылығы белгілі болған. SiO_2 көбінесе табиғатта құм немесе кварц түрінде кездеседі және жер қыртысындағы ең көп тараған минерал болып табылады. SiO_2 өмірдің барлық бағыттарында қолданылады, мысалы, шыны өндірісіндегі негізгі ингредиент болып табылады [2], кристалл құйдегі SiO_2 тығызы мұнай мен сланец газы бар қабаттардың сумен бұзылулары кезінде пайдаланылады, сондай-ақ кремний оксиді SiO_2 гидратталған тамақ өнімдерін өндіруде әдеттегі қоспа болып табылады. Тіс пасталарында қатты абразив ретінде пайдаланылады [3], микрочиптер жасауда және т.б. өнеркәсіптерде кең қолданысқа ие. Егер де кремнийді оттегіден бөліп алатын болсақ, онда литий батареяларында анодтық материал ретінде, және сондай-ақ басқа да жартылай өткізгіш ретінде де электроника өнеркәсібінде қолдануға болады [5].

Бұдан бұрын айтылып өткендегі, SiO_2 табиғатта көптеген заттардан табылған және олардың бірі күріш қабығы (КҚ) болып табылады [6]. Күріш қабығы – бұл ішкі компоненттерді жәндіктер

мен түрлі бактериялардан қорғайтын күріш ядросының қабығы болып табылады. Ол қатты материалдардан, оның ішінде SiO_2 және тұқымды қорғайтын лигниннен құралған. Ұнтақталған ақ күріштің әрбір килограмы шамамен 0,28 кг салыстырмалы түрде өндөу кезінде күріш өндірісінің жанама өнімі ретінде береді [7]. КҚ ұзақ уақыт бойы қалдық зат болып есептелді және жиі лақтырылды нәмесе өртеді. Бірақ оны жинау оңай болғандықтан, ол арзан, кейбір энергия көзі ретінде және кірпіш өндірісі сияқты шағын қолданыстар үшін және кейбір күріш дірімндерінде күрішті кептіру үшін пайдаланылатын бу қозғалтқыштары мен газданыргыштарының отыны ретінде пайдаланылды. КҚ-дағы SiO_2 жоғары құрамы оны құрылымы және бетон өнеркәсібі үшін, сондай-ақ тотықпайтын наноматериалдарды өндіру үшін жақсы қоспа жасауға қолданылатын [8] және биостимулаторды тазалау үшін де қолданылды [9].

2017 жылы күріш өндірісінің әлемдік көлемі 758,8 млн. тоннаны құрады, бұл 2016 жылға қарағанда 0,8 пайызға, басқаша айтқанда 5,8 млн.тоннаға жоғары. Орташа алғанда күріш алқаптарында әлемдік өндірістің жылдық көлемінің 28%-ы күріш қауызына келеді, бұл дегениңіз 212,5 млн.тонна. КҚ-ның шамамен талдауына келетін болсақ 75% органикалық затты құрайды, ал қалған 25% салмағы құлді күріш қабығын құрайды және КҚ-ның құлі, яғни КҚК, өз кезегінде, 85-90% аморфты SiO_2 тұрады.

КҚ-нан кремний диоксидін алуудың кезеңдері. КҚ-дан таза SiO_2 алу бірнеше әдісті қажет етеді. Қазіргі уақытта әртүрлі тазалықтағы КҚ-дан SiO_2 алуудың көптеген әдістері бар. Мысалы, Бакар және басқалар [11] тазартылған SiO_2 -мен 99%, Азат және басқалармен [12] 99,67%, Конгманкланг және басқалар [13] 99,29%, Шимшек, [14] 98% және Юнусамен және басқалармен. [15] 96,1%-ға шейін тазартылды. Бұл бөлімде таза SiO_2 -ні КҚ-нан алуудың бірнеше әдісін қарастырылған.

Kalapathy және басқалары [16] 93% SiO_2 химиялық әдіспен алды. 10 грамм КҚ құлінен 60 мл дистилденген сүмен араластырды және pH-тариын 1, 3, 5 және 7-ге дейін, би және 1н HCl ерітінділері арқылы жеткізді. Бұл дисперсиялар 2 сағат бойы араластырылып, сүзгіш қағаз арқылы сүзіліп, содан кейін КҚК қалдықтарын 100 мл сүмен жуады. Қалдықтар SiO_2 алу үшін пайдаланылған. Эр pH кезінде сүзу және жуу буландырыш тостағышта жиналып, кептірілді. Порция бойынша 60 мл 1н NaOH ерітіндісін жуылған және жуылмаған КҚК үлгілерінә қости және SiO_2 еріту және натрий силикаты ерітіндісін алу

ұшін тұрақты арапастыру кезінде көлемі 250 мл жабық колбаларда қайнатылды. Ертінділерді тұзсыз сүзгіш қағаз арқылы сүзеді, ал көміртегі қалдықтарын 100 мл қайнаған суда жуады. Сүзгіштер мен жуғыштарға бөлме температурасына дейін суытуға қалдырылды және оларды 1н HCl ертіндісімен pH-ы 7-ге дейін тұрақты түрде арапастыру арқылы титрледі. SiO_2 гельдері pH<10 дейін төмендеген кезде тұнбаға түсе бастады. Пайда болған SiO_2 гелдері 18 сағат шамасына қалдырылады. Содан кейін гельдерге 100 мл дистилденген су қосып гельді жақсылап арапастыру арқылы сусpenзия алады. Содан кейін сусpenзияларды 15 минут бойы центрифугаға салады, 2500 айналым/мин кезінде центрифугалаудан өткен мөлдір супернатанттарды төгіп тастайды да, жуу кезеңін қайта қайталады. Сонында алынған гельдер химиялық стаканға ауыстырылып, ксерогель алу ұшін 12 сағат бойы 80°C температурада кептірілді.

Rambo және тағы басқалары SiO_2 ксерогельді алу ұшін КҚК үлгілерін пеште 24 сағат бойы 110°C температура кезінде кептірді. SiO_2 дайындау NaOH және KOH экстрагирлөгіш ертінділері мен катализатор ретінде сәйкес бикоркарбонаттарды қолданды. Микронизацияланған КҚК-ін (20 г) көлемі 250 мл дөңгелек колбаға салып, тиісті сілтілі ертіндімен және pH көрсеткіштері (1, 3, 5, 7 және 9) болатында етіп, негіз концентрациясы (2,0, 3,5, 5,0, 6,5 және 8,0 моль/л), ал катализатордың концентрациясы (0,6, 1,3, 2,0, 2,7 және 3,4 моль/л) және уақыты (1, 2, 3, 4, 5, 6, 7, 8, (2, 3, 4 және 5 сағ) болатын болжанылған беттік реакцияласу әдісімен (RSM) жасады.. Содан кейін қоспаны кері тоқазытқышпен 3 сағат бойы ұстайды. Осыдан кейін ертіндіні қағаз сүзгісі арқылы өткізіп, сүзілген материал RSM болжанған pH-ға дейін SiO_2 қызығылт тұнбаларын аздап түзген 5,5н H_2SO_4 ертіндісінің көмегімен қышқылданырылды,. Оны қайтадан жоғарыда айтылған әдіс бойынша, 20 мл 3% H_2O_2 қосу арқылы сүзілген. Түссіз SiO_2 ксерогелі 24 сағат бойы пеште кептірілді; осыдан кейін оны қышқылдың артық мөлшерін (pH ~ 6) жою ұшін дистилденген сумен жуып, кейіннен 24 сағат бойы кептіру кезеңіне қайта пешке салынды.

Battegazzore және басқалары [18] өзінің тәжірибелерінде 40 г ұнтақталған КҚ-н алып, оны 386 г дистилденген судан және 14 г құқырт қызылынан тұратын ертіндіге салып 3 сағат бойы 80°C температурада арапастырды. Бұл әдісті құрамында қара заттар пайда болмасы үшін алдыңғы қадам ретінде қолданылды.. Қатты қалдықтарды сүзу әдісімен бөліп алды, деиондалған сумен жуып, ары ұарай кептірді. Содан кейін қалдықтан алдыңғы салмағының 15%-ы

мөлшерінде болатындаи SiO_2 алу үшін 800°C температурада 1 сағат бойы муфель пешінде қыздырылды.

КҚ-ғы 650°C температурада муфель пешінде КҚҚ-нө айналады. Барлық химиялық заттар аналитикалық сапада болды және алдын-ала тазалауға ұшырамады. КҚҚ-ны металл қоспаларынан жою және SiO_2 тазалығын арттыру үшін қышқылмен алдын ала өндеді. КҚҚ-ның суда диспергирленген Ph улгілерін қышқылдарды (HCl , HNO_3 , H_2SO_4) қолдану арқылы 7-ге дейін жеткізген. Улгілерді 2 сағат бойы араластырып, сүзіп, қалдықтарды сүмен жуады. Алдын ала өңдеуден кейін қалдықтарды NaOH -да диспергациялап, 1 сағат бойы қайнатты. Ерітінділерді сүзіп, көміртегі қалдықтарын қайнаган сүмен жуады. Шайынды суды жинап, HCl -мен титрлеудің алдында, $\text{pH}=7$ болмайынша, бөлме температурасына дейін салқыннатады. SiO_2 шөгіндісі pH 10 тәмен болған кезде басталды. SiO_2 шөгінділері кем дегенде 12 сағат бойы ұсталынды. Гельдерді деиондалған сұзы бар сусpenзия түзе отырып ұсақтап, оны кейін 2500 айн/мин-та центрифугалаган. Супернатанты лақтырып, қажет болған жағдайда, жууды қайталайды. Содан кейін гельдерді 80° температурада стаканда кептірілді [19].

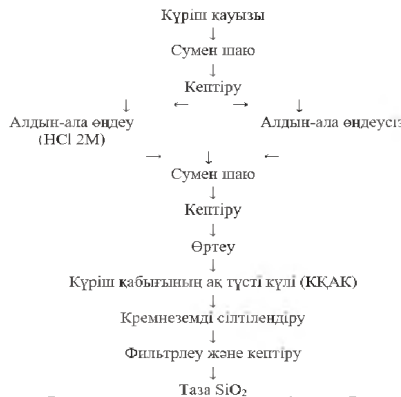
Moosa және т. б. SiO_2 алу үшін [20], алынған 100 гр тазартылған КҚҚ-ын 800 мл (2н) HCl ерітіндісі бар кері тоқаңтышпен, 70°C температурада 1 сағат уақытында қыздырады. Реакция аяқталғаннан кейін қышқылды 0,45 мкм пор мөлшері бар сүзгіш қағазды пайдалана отырып, тазартылған сүмен бірнеше рет жуу арқылы КҚҚ-нен алып тастайды. Содан кейін оны электр пешінде 6 сағат ішінде 50°C температурада кептірді. Өндөлген КҚҚ-ны содан кейін 3 сағат бойы 650°C кезінде $10^{\circ}\text{C}/\text{мин}$ қыздыру жылдамдығымен электр қорапты пеште қыздырды. 400°C кезінде өндөлген күріш қабығының күлі қара түсті, ал 650°C кезінде өндөлген күріш қабығының күлі ақ түсті болады. 10 гр алынған кремнеземді 80 мл HCl бн ерітіндісі бар кері тоқаңтышпен 3 сағат бойы 65°C қайнатады. Реакция аяқталғаннан кейін қышқылды кремний диоксидінен кетіру үшін, оны бірнеше рет тазартылған сүмен жуып, содан кейін 0,2 мкм пор мөлшері бар сүзгіш қағазды пайдалана отырып вакуумды насоспен сүзеді. Кремний диоксиді 6 сағат ішінде 50°C температурада электр пешінде кептірілді. Содан кейін кремний диоксиді натрий силикаты түзілуімен, 2,5н NaOH ерітіндісімен 14 сағат бойы магниттік әдіспен араластырылды. H_2SO_4 ерітіндісін натрий силикаты ерітіндісінен pH 8-ге тұрақты араластыру арқылы тамшылатып қости, содан кейін нанокремді гель түзілді. Содан кейін гель pH мәні 7-ке тең болғанға дейін екі рет дистилденген сүмен жуылып, содан

кейін кремний диоксидінің нанобөлшектері ұнтағының пайда болуысымен, 48 сағат бойы 50°C пеште кептірілді.

Таза нанокремнезем ұнтағы процестің әр түрлі параметрлерін бақылай отырып, КҚҚ-нан шығарылды. КҚ кез келген жабысқан қоспаларды жою үшін тазартылған сумен мүқият жуады. Жұылған КҚ бөлме температурасында ауада кептіріп, одан кейін инертті атмосферада муфтель пешінде 973 K температурада 3 сағат бойы өртейді. Алынған КҚҚ-ін құмды, шанды, жеңіл дәндер мен ұсақ кірді кетіру үшін pH-ын бейтараптандыру үшін тазартылған сумен жуылды. Бейтарапталған КҚҚ-ін 6н HCl (Merck GR) қолдана отырып, 1,5 сағат ішінде кері тоқазытқышпен қайнатылды, содан кейін металл қоспаларын алып тастау және таза наносиликатты алу үшін сүзеді. Сүзілген КҚҚ-ін ыстық сумен біргеше қайталап шаяды, кейін NaOH (Merck GR) ерітіндісімен әртүрлі концентрациялармен қайнатып, одан кейін 353 K температурада 1,5 сағат бойы магнит араластырғышпен араластырылды, және кейін натрий силикатын алу үшін сүзгіден өткізілді. Натрий силикатын толықтай алу үшін алынған қалдықты ыстық сумен жақсылап шаяды. Алынған сүзіндінің pH көрсеткішін 2-ге шейін, нанокремнезем қалдықтарын алу үшін H_2SO_4 концентрлі күкірт қышқылын пайдалана отырып түсірді. Алынған қалдықты жылы сумен үш мәрте шайды және шайып болғасын сүзгіден өткізді. Алынған қалдықты 973 және 1373K температурада 3 сағат бойы муфель пешінде қыздырды. Ойлаған мөлшерлі дәнектерді алу үшін алынған кремнезем ұнтақтарын ұнтақтау әдісін қолдана отырып ұнтақталды [21].

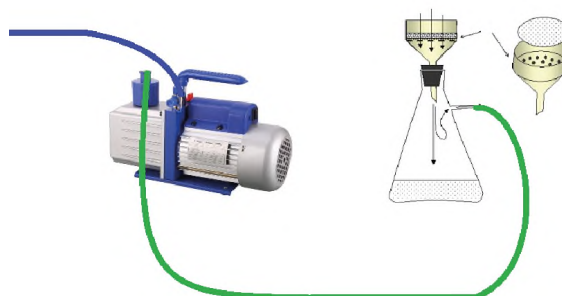
Тәжірибелік бөлім. Бұл тәжірибелерді орындау үшін алдымен бізге мынадай заттар мен құрылғылар қажет болады: ағынды су, дистилденге су, HCl (концентрлі), натрий гидроксиді (NaOH), фильтрлеуші қағаз (WhatmanTM, класс 41), вакуумды насос, муфель пеші (SNOL 8, 2/1100 LSM01), кептіріш пеш (SNOL 20/300 LSN11 ST) және магнитті араластырғыш (Four E's 5 Inch, 100-1500 айн/мин). Барлық процесті басынан аяғына дейін орындауға 28 сағат уақыт кетеді.

КҚ Қазақстан Республикасының Қызылорда облысынан таңдалынып алынды. Ұзындығы шамамен 5-10 мм болатын үлгілер алдымен ағынды сумен жуылады, бөтен заттарды кетіру үшін дерек ыстық дистилденген сумен жуылады және пеште 10°C температурада 12 сағат ішінде кептіріледі (құрамындағы судың булануы үшін). Құріш қабығын өңдеу және күріш қабығынан таза SiO_2 алу сыйбанұсқасы төменде көрестілген (1-сурет).



1-сурет – Күріш қабығын өндіру және күріш қабығынан таза SiO_2 алу сызба нұсқасы

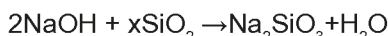
50 грамм шикізат үлгісін 2M HCl ерітіндісімен (500 мл) өндеді және 2 сағат бойы 90°C температурада қыздырады. Дайындалған үлгіні pH көрсеткіші 7 болғанға шейін үздіксіз дистиллденген сумен шаяды және ертіндіден сузу арқылы бөліп алады. КҚ-ын 105°C температурада 12 сағат бойы кептіреді және 4 сағат бойына басқа температурада муфель пешінде КҚ-ның, ак түсті күлін алу үшін қыздырады. Алынған күлдің түсі температуралың әртүрлілігіне байланысты әртүрлі болып шықты. $400\text{-}500^{\circ}\text{C}$ температурада қара түсті күлдер кетеді, ал $750\text{-}900^{\circ}\text{C}$ сүр түсті күл алынады. Бұл жаңудың жоғары эффективті болғанын білдіреді. Ақ КҚК-і $550 - 700^{\circ}\text{C}$ температурада, уақыт 4 сағат кезінде алынды. Оптимальды температура ретінде 600°C температуралы алдық. Процесс аяқталған кезде алынған ақ КҚК-нің салмағы шамамен 9 гр болды.



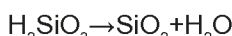
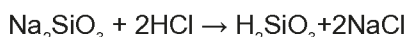
2-сурет – Ерімейтін қалдықтарды сузуге арналған вакуумдық сорғыш сызба нұсқасы

Кейін ақ КҚҚ-ін 100 мл 2M NaOH ерітіндісінде 90°C температурада 2 сағат бойы үнемі үздіксіз араластыра отырып, суда ерігіш қатты SiO_2 экстрагирлеу үшін араластырылады.

Химиялық реакция:



Суда ерігіш натрий силикатының ерітіндісін вакуумдық соғы арқылы ерімейтін қалдықтарды кетіру үшін сұзгіден өткізілді (2-сурет). Фильтрациядан кейін ол тұрақты араластырумен концентрацияланған HCl ерітіндісімен әрекеттесу арқылы ерімейтін кремний қышқылына айналады.



Соғы өнімді сұзгіден өтіп, қосалқы өнімдерді кетіру үшін ыстық сумен жуады (құрамындағы NaCl қалдықтарын). Ақырында, тазартылған кремнеземді 120°C температурада лабораториялық кептіру пешіне 1 түнге қойылды. Кептіруден кейін біз ақ қеүекті ұнтақ алынылды (SiO_2).

Нәтижелер және талқылау. Эр түрлі шығымдылығы бар кремнеземдердің әр түрлі сорттарын кальцийлеу һемесе жану температурасы мен әр түрлі өңдеу температураларында кальцийлеу һемесе жану ұзақтығының әртүрлілігіне байланысты алуға болады (3-сурет).

Белсендіргіш зат, алдын-ала жуылған қышқылды қабықынң температурасы мен қызыдыру уақыты, активтендіргіш заттың концентрациясы бәрі шығымға, тұндышылған наносиликаның бетінде әсер етеді. Көрсетілген жану жағдайында алынған ақ КҚҚ-нің шығымы (4 сағат ішінде, 600°C) 14,9% құрады (1, 2 кесте).

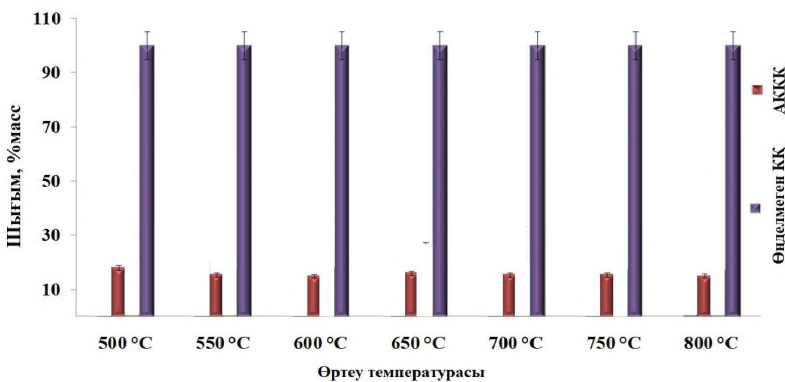
1-кесте – Алдын-ала өңделген (HCl) әдіспен және алдын-ала өңделмеген әдіспен (термиялық әсер ету) алынған ақ КҚҚ-нің шығымы

Әдістер	Шығым, масс. %	
	КҚҚ	SiO_2
Алдын-ала өңдеу	16	11,5
Термиялық өңдеу	14,9	11,6

2-кесте – КҚ-нан алынған ақ КҚК-нің муфель пешінде бірден өртеген кездегі шығымы

Жану температурасы (t=4 сағат)	Шығым, мас.%	
	КҚ	Өндөлмеген КҚ
500°C	7,9	100
550°C	5,4	100
600°C	4,9	100
650°C	6	100
700°C	5,5	100
750°C	5,5	100
800°C	5	100

КҚ-нан алынған кремнийдің шығымы және оның тазалығы өндіріс схемасына да байланысты. Ақырғы таза өнімнің ең жоғары шығымдылығы (11,5%) қышқылмен алдын ала өңдеу кезінде түзіледі (АКҚК + HCl) (1-кесте). Кремнийдің мөлшері қолданылатын жұғыш реагенттердің тазалығына (қышқыл мен оның құрамына) байланысты ~ 90,1-99,5% аралығында болды (4,5-суреттер).

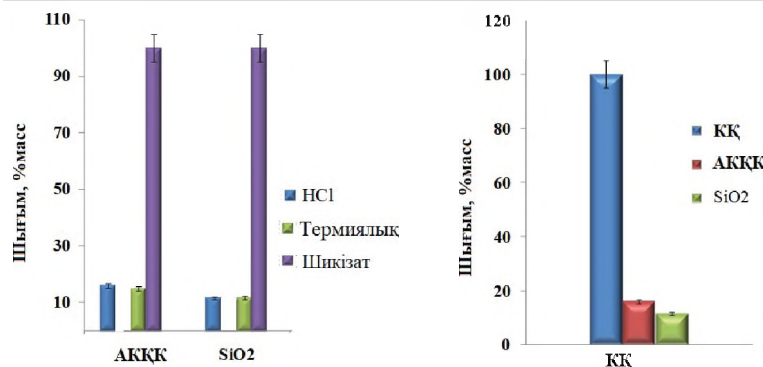


3-сурет – КҚ-нан (HCl-сыз) алынған АКҚК-нің проценттік шығымы

КҚ-ның және АКҚК-нің элементтер құрамы рентген-флуоресценттік анализмен (XRF) үсінілған. Алынған мәліметтер зерттеліп отырған КҚ-ның құрамының өртүрлі элементтерге бай екенін көрсетеді (3, 4 кесте).

3-кесте – Аморфты кремнеземнің элементтік құрамы (600°C)

Үлгі	Дайын өнім шығымы, %	Құрамы, %						
		SiO ₂	Na ₂ O	Al ₂ O ₃	SO ₃	Cl	K ₂ O	Fe ₂ O ₃
АКҚК +HCl	11,5	95,87	3,578	0,032	0,018	0,279	0,021	0,014
								0,006



4-сурет – Эртүрлі әдістермен КК-ы және АКҚК алынған кремнеземнің проценттік шығымдары

5-сурет – АКҚК мен КК-нан (HCl өндөлген) алынған кремнеземнің проценттік шығымдары

Кесте 4 – Аморфты кремнеземнің элементтік құрамы (600°C)

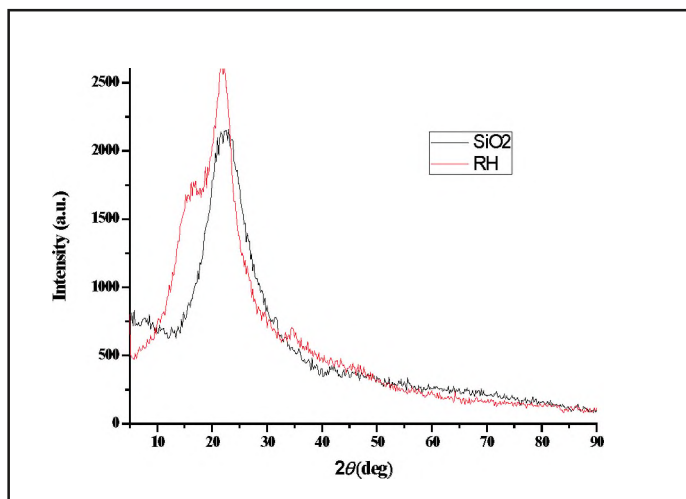
Элементтер	Үлгі		
	КК (өндөлмеген) %	АКҚК+HCl %	АКҚК %
Na ₂ O	0,365	3,578	0,079
MgO	0,311	n/d	0,03
Al ₂ O ₃	0,23	0,032	0,134
SiO ₂	90,194	95,871	99,506
SO ₃	2,021	0,018	0,021
Cl	0,278	0,279	0,041
K ₂ O	2,949	0,021	0,074
CaO	2,618	n/d	0,036
MnO	0,138	n/d	n/d
Fe ₂ O ₃	0,570	0,014	0,071
CuO	0,071	n/d	n/d
ZnO	0,037	0,006	0,007

Tm ₂ O ₃	0,172	n/d	n/d
PtO ₂	0,047	n/d	n/d
P ₂ O ₅	n/d	n/d	n/d
NiO	n/d	n/d	n/d

n/d – табылмады

Рентгенқұрамды және TG анализі. Кремний диоксиді үлгілерінің ренттегендік дифракциясы зандалықтары сканерлеу жылдамдығы 0,02-20/мин болатын Rigaku ұнтақты дифрактометрмен, 10-дан 90-ға дейінгі 2-тета бұрыштардағы никель-сүзгіден өткен Cu-Kα сәулеленуін қолдана отырып жасалды.

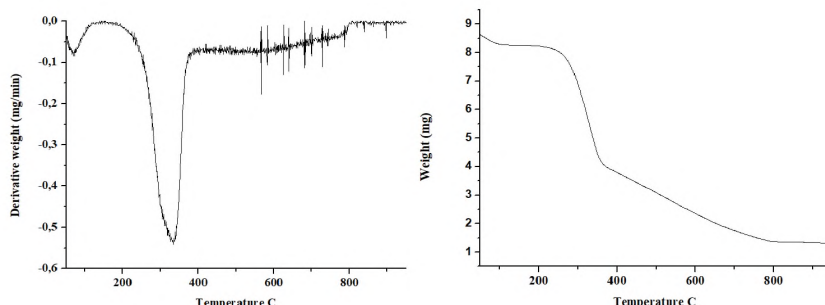
Алынған кремний ұнтағы ренттегендік аморфты қүйде болады, және оны ренттегендік фаза талдауы растайды. Ренттегендік дифракциялық үлгілерде бір диффузиялық шың $2\theta = 24^\circ$ аймақта байқалады, бұл кремний диоксиді КК аморфты құрылымына тән, ал аморфты кремний диоксиді үшін диффузиялық шыңның максималды мәні $2\theta = 30^\circ$ болды.



6-сурет – КК-нан алынған SiO_2 ренттегограммасы

Максималды қарқындылышы $24,0 2\theta^\circ$ кезінде байқалатын кең ореол (Сурет 6) 0,36 нм d-қашықтыққа сәйкес келеді және алынған кремнийдің аморфты құрылымын растайды.

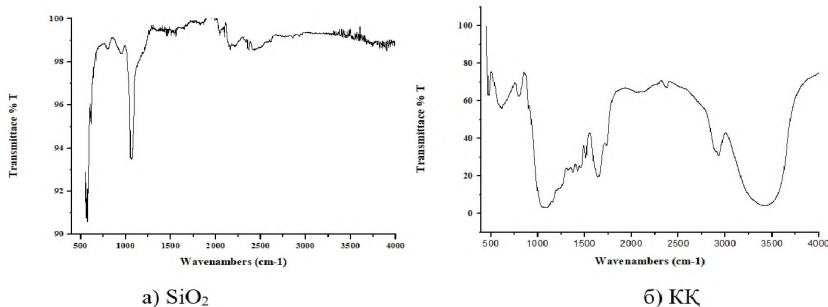
Аморфты құрылымы өте кеуекті және бетінің үлкен аумағына ие, сондықтан да химиялық өндөу мен сіңіру үшін жоғары белсенділік береді. Жалпы алғанда, кремнийдің мұнданай жағдайларда коммерциялық мақсатта пайдаланылуы үшін температурасы жоғарырақ кристалды формалармен сипатталатын кремнийдің минералды көздеріне қарағанда үлкен мүмкіншіліктері бар.



7-сурет – Күріш қабығының TGA және DTG суреттері

КҚ-ның құрамында органикалық компоненттердің баржоқтығын анықтау үшін TG және DTG талдаулары қолданылды (Сурет 7). Сонымен қатар, TGA-DTG қисықтары күріш қауызының термиялық ыдырауының үш фазасына байлайша бөлінді; I кезеңде женіл компоненттерді кептіру және буландыру кезеңі ($50\text{-}250^{\circ}\text{C}$), II фазада гемицеллюлоза мен целлюлозаның ұшпа компоненттерін жою ($250\text{-}400^{\circ}\text{C}$) және лигнинді ыдырауға арналған III фаза ($400\text{-}900^{\circ}\text{C}$). Бұл кезде 700°C -тан кейінгі қалдық қатты қалдық ретінде белгіленді. Бастапқы салмақ жоғалтудың $50\text{-}250^{\circ}\text{C}$ температура аралығында болатындығын көруге болады, екінші кезең $300\text{-}400^{\circ}\text{C}$ температурада тез және үлкен салмақ жоғалтуды көрсетеді. Бұл негізгі органикалық компонент гемицеллюлоза мен целлюлозаның термиялық ыдырауына байланысты.

Үшінші кезеңде салмақ жоғалуы шамамен 25-30% құрайды, бұл термиялық орнықты хош иісті полимер лигниннің $300\text{-}600^{\circ}\text{C}$ -қа дейінгі температурада біртіндеп ыдырауға ұшырайтына байланысты. Ал күлдің қалған бөлігі негізінен жанбайтын кремнийден тұрады ($\sim 15\%$, $> 600^{\circ}\text{C}$).



a) SiO_2

б) КК

8-сурет – SiO_2 (а) және КК-ның (б) ИК-Фурье спектрі

КК-да және SiO_2 -де болатын функционалды топтар FTIR-ATR спектрлерімен анықталды (8-сурет).

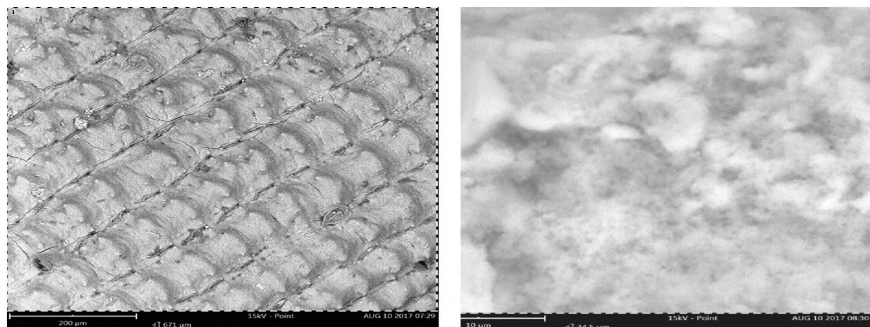
8-суреттегі кең шың шамамен 3500 см⁻¹ -О-Н-валентті су молекулаларының тербелістеріне сәйкес келеді. Жұтылу шыңы 2926 см⁻¹ деңгейіне целлюлоза, гемицеллюлоза және лигнин құрылымдағы -CH₃ және CH₂ топтарындағы C-H алифатикалық байланыстарының симметриялы және асимметриялық тербелістеріне және сәйкесінше 2114, 1423 және 1383 см⁻¹ сәйкес келуі мүмкін метилен тобының -C-H валентті тербелістерімен байланысты. 1632 см⁻¹ кезіндегі шыңды альдегидтер мен кетондардың -C=O карбонильді топтарындағы валентті тербелістерге сәйкестендіруге болады. 1515 см⁻¹ кезіндегі шыңды -C-O карбоксилат топтардағы созылуларға сәйкес келеді. 1095, 898, 796, 662 және 471 см⁻¹ кезіндегі кең шыңдар силоксан топтарының валентті тербелістеріне сәйкес. 1055 см⁻¹ кезіндегі жұтылу шыңы 8-сурет (көк) (Si–O–Si) силоксан байланыстарының тербелістеріне сай келеді және бұл кремнезем торы [22] мен [23] мақаладағы кремнеземнің жоғары конденсирленген торына сай келгенін коруге болады. Алынған SiO_2 спектрлері органикалық немесе бейорганикалық қоспалармен байланысты басқа жолақтарды қөрсетпейді.

Тікелей жанудың бастапқы және кейінгі кезіндегі салыстырмалы ылғалдылықтың морфологиясы (сканерлеуші электронды микроскопия).

SEM Quanta 3D (FEI, АҚШ) ұсынған КК-нан алынған кремний оксидінің конструкцияларын салыстыру.

9 суретте тікелей жанудың алдындағы бастапқы салыстырмалы ылғалдылықтың SEM суреттері қөрсетілген. Суреттерден көрініп түрғандай, үлгілер өте тығыз беттер екенін көре аламыз.

9 (а) сурет – КҚ-ның сыртқы беттерінің морфологиясын суреттейді, КҚ-ның сыртқы беті тегіс емес және өте бұдірлі. 9 (б) сурет – кремнезем үлгісінің аздап үлкейтілген SEM бейнесі. Наномелшерлердің кедір-бұдырылғы көлемде таралған кремнезем нанобөлшектердің морфологиясына байланысты.



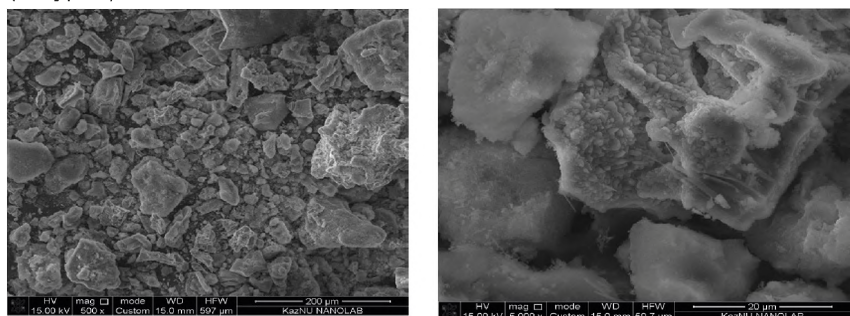
а)

б)

9-сурет – КҚ-ның термиялық өндөу алдындағы СЭМ-суреттері (а) және SiO_2 -нің СЭМ-микрофотографиясы

Тұз қышқылымен алдын-ала өңдеуден кейін кремнийдің (сканерлеуші электронды микроскопия)

Алынған кремний үнтағының бөлшек морфологиясы Quanta 200i 3D сканерлеуші электронды микроскоптың көмегімен зерттелді (FEI компаниясы, АҚШ) (Ұлттық нанотехнология зертханасы, әл-Фараби атындағы Қазақ ұлттық университеті, Алматы, Қазақстан) (9-сурет).



10-сурет – КҚ-нан алынған SiO_2 -нің SEM-микрофотографиясы

Кремний диоксидінің үлкейтілген SEM кескіні (10-сурет) көрсеткендей, наноөлшемді кедір-бұдырылылығы көлем бойына таралған кремний диоксиді нанобелшектерінің морфологиясына байланысты екенін көруге болады.

Қорытынды. Тазалығы жоғары кремнезем КҚ-нан қарапайым тұндыру әдісімен синтезделеді. 2M HCl ерітіндісімен КҚ-ы алдын-ала өндөлді, кейін 90°C температурада 2 сағат бойы қыздырылды, содан кейін АКҚК-і 100 мл 2M NaOH ерітіндісімен 90°C температурада араластырылды, бұл кремний диоксидінің тазалығы жоғары құрамын алуға әкелді. Алынған кремнийдің тазалығы шамамен 90% (мас.%) және 99,5% (мас.%) құрады. Осы жұмыста сипатталған әдісті қолдану арқылы жоғары тазалықтағы наносиликат ұнтағын сәтті синтездеуге болады. Алынған кремний оксиді өте аморфты. Рентгенограмма үлгісі кварцтың іздерін ғана көрсетеді (кремнийдің кристалды формасы).

Кремний диоксиді бөлшектердің кішкентай мөлшерге ие, бұл оның резеңке және сия өндірістеріне қолдануға жарамды етеді. Кремнийдің мезопорлы құрылымы оны потенциалды каталитикалық (немесе катализатор тасымалдаушы) материал етеді.

Әдебиеттер/ References

- 1 Sommer, M., Kaczorek, D., Kuzyakov, Y., & Breuer, J. Silicon pools and fluxes in soils and landscapes—a review. *Journal of Plant Nutrition and Soil Science*. 2006. V. 169 № 3. P. 310-329.
- 2 Tomozawa, M., Kim, D. L., & Lou, V. Preparation of high purity, low water content fused silica glass. *Journal of non-crystalline solidz*. 2001. V. 296. № (1-2). P. 102-106.
3. Camargo, I. M. C., Saiki, M., Vasconcellos, M. B. A., & Avila, D. M. Abrasiveness evaluation of silica and calcium carbonate used in the production of dentifrices. *Journal of cosmetic science*. 2001. V. 52 №3. P. 163-168.
- 4 Feng, K., Li, M., Liu, W., Kashkooli, A. G., Xiao, X., Cai, M., & Chen, Z. *Silicon-Based Anodes for Lithium-Ion Batteries: From Fundamentals to Practical Applications*. Small. 2018. V. 14. № 8. P. 1702737.
- 5 Heywang, W., & Zaininger, K. H. *Silicon: the semiconductor material*. In *Silicon* (pp. 25-42). Springer, Berlin, Heidelberg. 2004.
- 6 Geetha, D., Ananthiand, A., & Ramesh, P. S. Preparation and characterization of silica material from rice husk ash—an economically viable method. *Research & Reviews: Journal of Pure and Applied Physics*. 2016. V. 4. №3. P. 20-26.
- 7 Rice Knowledge Bank. (2016). Retrieved from <http://www>.

knowledgebank.irri.org/step-by-step-production/postharvest/rice-by-products/rice-husk.

8 *Azat, S., Pavlenko, V.V., Kerimkulova, A.R., & Mansurov, Z.A.* Synthesis and structure determination of carbonized nano mesoporous materials based on vegetable raw materials. In Advanced Materials Research. 2012. V. 535. PP. 1041-1045. Trans Tech Publications.

9 *Kerimkulova, A.R., Azat, S., Mansurov, Z. A., Gilmanov, M.K., Ibragimova, S.A., Adekenov, S.M., & Rachimova, B.B.* Mesoporous nano carbon sorbents for separating different biomolecules. In Advanced Materials Research. 2012. V. 535. PP. 284-288. Trans Tech Publications.

10 Food and Agriculture Organization Rice Market Monitor (FAO RMM). (2018). Retrieved from <http://www.fao.org/economic/RMM>.

11 *Bakar, R.A., Yahya, R., & Gan, S.N.* Production of high purity amorphous silica from rice husk. Procedia Chemistry. 2016. V.19. PP. 189-195.

12 *Azat, S., Korobeinyk, A. V., Moustakas, K., & Inglezakis, V. J.* Sustainable production of pure silica from rice husk waste in Kazakhstan. Journal of Cleaner Production. 2019. V. 2017. PP. 352.

13 *Kongmanklang, C., & Rangsriwatananon, K.* Hydrothermal synthesis of high crystalline silicalite from rice husk ash. Journal of spectroscopy, 2015.

14 *Şimşek, Y.* Preparation and Characterization of High Purity Silica Obtained from Rice Husks. Acta Physica Polonica A. 2017. V.132. № 3. PP.1002-1005.

15 *Yunusa, S., Ahmed, A. S., Bawa, S. G., Iyun, J. F., & Dauda, M.* Preparation of High Grade Silica from Rice Husk for Zeolite Synthesis. Nigerian Journal of Basic and Applied Sciences. 2016. V.24. №1. PP. 41-45.

16 *Kalapathy, U., Proctor, A., & Shultz, J.* An improved method for production of silica from rice hull ash. Bioresource technology. 2002. V. 85. №3. PP. 285-289.

17 *Rambo, M.K., Cardoso, A.L., Bevilacqua, D.B., Rizzetti, T.M., Ramos, L.A., Korndorfer, G.H., & Martins, A.F.* Silica from rice husk ash as an additive for rice plant. Journal of Agronomy. 2011. V.10. №3. PP.99-104.

18 *Battegazzore, D., Bocchini, S., Alongi, J., & Frache, A.* Rice husk as bio-source of silica: preparation and characterization of PLA-silica bio-composites. RSC Advances. 2014. V.4. № 97. PP. 54703-54712.

19 *Tyagi, V., Pandit, S., Sharma, A., & Gupta, R.K.* Extraction and characterization of silica from rice husk for use in food industries. Extraction. 2017.

20 *Moosa, A., & Saddam, B.* Synthesis and Characterisation of Nano-silica from Rice-Husk with Applications to Polymer Composites. American Journal of Materials Science. 2017. V7. №6. PP. 223-231.

21 *Yuvakkumar, R., Elango, V., Rajendran, V., & Kannan, N.* High-purity nano silica powder from rice husk using a simple chemical method. Journal of experimental nanoscience. 2014. V.9. №3. PP. 272-281.